

時系列モデルによる交通流の短期予測*

SHORT TERM PREDICTION OF TRAFFIC FLOW BY TIME DOMAIN MODEL

岩崎 征人** 干葉 利晃**
東 伸吉*** 向井 美巳***

by M. IWASAKI, T. CHIBA, S. AZUMA
and H. MUKAI

Short term prediction of traffic flow needs to motorway traffic surveillance and control systems. In this paper, auto-regressive (AR) model is used to predict traffic flow oscillations. One-step ahead and n-step ahead prediction methods are discussed. It is also discussed that linear regression formulas, which are calculated by original data to remove their trends, and a pseudo statistical pattern of traffic oscillation collected at the same detector point are employed to reduce prediction errors caused by non-linearity and randomness of traffic flow oscillations. Data used here are 1 min. volume, mean speed, and time occupancy collected at a detector point on Tokyo Expressways. The model employed here can be expected to have well accurate prediction of traffic flow at a detector point using a statistical pattern of traffic flow oscillations.

1. はじめに

本論文は、自己回帰(AR)モデルを用いて、与えられた交通流変動の短時間先までの予測を試みたものである。本論文では、主として使用したモデルの実現象への適用性についての基本的な事項を検討している。

現在我が国で実施されている交通管制システムの多くは、交通状況監視、情報提供および入路管制などのいくつかのサブシステムによって構成されていて、道路上の交通状況の正確な把握に、システム全体の精度および信頼性にとって不可欠である。

情報提供サブシステムは、交通状況監視サブシス

テムによって収集された交通状態とシステム内に予め記録されているいくつかの基準値や参考値と比較することにより、得られれた判定結果と、道路からの渋滞の長さ(渋滞長表示)やある地点地図までの旅行時間(旅行時間表示)などの情報として可変表示板を通して利用者に提供している。

現在のシステムの多くは、収集された「現時刻」の交通状態を基準として情報の提供や入路の規制を実施している。このため、情報板に表示された地図から遠く離れた地図の本線上やオインランプの情報板でこの情報を接した利用者にとっては、表示された地図へ到着するまでの時間遅れのために、表示内容とは異なった交通状態となるなどの、利用者にとっては必ずしも満足すべき情報が与えられない、というような場合も、時として、生ずることがある。このような、時間遅れの点が、生ずる情報の信頼性に伴う問題を解決するためには、交通状態の短期予測が必要となる。

* キーワード： 交通流、短期予測

** 正食 工博 武藏工業大学講師 工木工学科
*** 武藏工業大学 土木工学科

(〒158 世田谷区玉堤1-28-1)

交通状態の予測の方法論については、すでにいくつかの報文^{(1), (2), (3)}が示されてきている。

首都高速道路の交通管制システムでは、全ネットワークを対象として、交通状態の30分先までを予測するためのシミュレーションモデル（インプット・アウトプット法）が登録されている⁽⁴⁾。また、日本道路公団のシステムでは、東葉地域にある対象道路上の旅行時間と予測するため、時系列モデルを主体とした予測モデルが開発されている⁽⁵⁾。これらの実用化されているモデルでは、いずれもいくつかのパラメータ（例えば、地図毎のQ-K（あるいはK-V）相関パタン、入路からの交通量変動パターンの統計値、合分流比率など）を用いて、予測精度の向上を計っている。

交通状態予測モデルは、基本的には、1地図あるいは1区间における状態量（交通量、平均速度、時間オキュパンシあるいは区间存在率）を予測することを出发点としている。

本報文は、ARモデルを用いてある1地図での交通状態の時間変動を予測するための基礎的な情報を得ることと目的としたものである。

2. モデルの概要

交通状態の予測方法としては、自己回帰(AR)モデル、積分混合(ARIMA)モデルあるいはカルマシンフィルタを用いる方法などが報告されているが、実用化に向けたままだ十分な検討が加えられているとはいえない。ここでは、時系列解析モデルの一つである自己回帰過程に重点をおいて考察することにする。

1) 自己回帰(AR)モデルによる予測法

n 次の定常ARモデルは次式で与えられる。

$$x(j) = \sum_{k=1}^p b_k \cdot x(j-k) + \varepsilon(j) \quad (1)$$

ここで、 $\varepsilon(j)$ は分散 $\sigma^2(\varepsilon)$ を持つホワイトノイズであり、誤差を表すものである。

現在の時刻を j とし、 l 時間先の時刻 ($j+l$) における値 $x(j+l)$ の予測値 $\tilde{x}(j+l)$ は観測された現在の値および過去 l 時間以前までの値 $x(j)$, $x(j-1), \dots, x(j-p)$ の線形結合として次式のように表わせるものと仮定する。

$$\tilde{x}(j+l) = \sum_{k=0}^p g_k \cdot x(j-k) \quad (2)$$

係数 g_k は予測誤差 $\varepsilon(j+l) = x(j+l) - \tilde{x}(j+l)$ の二乗平均値、

$$\sigma^2(\varepsilon) = E[\{x(j+l) - \tilde{x}(j+l)\}^2] \quad (3)$$

を最小にする意味で最適な係数として求められる。そこで、式(3)を g_k で偏微分して0とおけば、

$$\frac{\partial \sigma^2(\varepsilon)}{\partial g_k} = -2E[\{x(j+l) - \sum_{k=0}^p g_k \cdot x(j-k)\} \cdot x(j-k)] = 0$$

となる。 $x(j)$ の相関係数を $r(s) = E[x(j)x(j-s)]$ と定義すれば、上式から最適係数 g_k は、

$$r(s+l) = \sum_{k=0}^p g_k \cdot r(s-k) \quad (4)$$

$$(s = 0, 1, \dots, p)$$

の解として与えられる。これをマトリクス表すれば、

$$\begin{bmatrix} r(0) & r(1) & \cdots & r(p) \\ r(1) & r(0) & \cdots & r(p-1) \\ \vdots & \vdots & \ddots & \vdots \\ r(p) & r(p-1) & \cdots & r(0) \end{bmatrix} \begin{bmatrix} g_0 \\ g_1 \\ \vdots \\ g_p \end{bmatrix} = \begin{bmatrix} r(l) \\ r(l+1) \\ \vdots \\ r(l+p) \end{bmatrix} \quad (5)$$

特に、一段予測 ($l=1$) を考えれば、式(5)は式(1)で与えられる AR(p) 過程に対するユール-ウォーカー方程式となる。すなはち、

$$\begin{bmatrix} r(0) & r(1) & \cdots & r(p-1) \\ r(1) & r(0) & \cdots & r(p-2) \\ \vdots & \vdots & \ddots & \vdots \\ r(p-1) & r(p-2) & \cdots & r(0) \end{bmatrix} \begin{bmatrix} b_1 \\ b_2 \\ \vdots \\ b_p \end{bmatrix} = \begin{bmatrix} r(1) \\ r(2) \\ \vdots \\ r(p) \end{bmatrix} \quad (6)$$

したがって、最も簡単な一段予測式は簡単な、

$$\tilde{x}(j+1) = \sum_{k=1}^p b_k \cdot x(j+1-k) \quad (7)$$

で与えられる。式(1)あるいは(7)の係数は式(6)のユール-ウォーカー方程式を解くかわりに、レジンソン-ダービンのアルゴリズムにより、係数を逐次的に求めればより簡単に求められる。このアルゴリズムは、 n 次のARモデルの j 番目の係数を $b_j(n)$ と表わせば、

$$\left. \begin{aligned} b_j(n+1) &= b_j(n) + b_{n+1}(n+1) b_{n-j+1}(n) \\ &\quad (j = 1, 2, \dots, n) \\ b_{n+1}(n+1) &= \frac{r_{n+1} + \sum_{k=1}^n b_k(n) r_{n-k+1}}{1 + \sum_{k=1}^n b_k(n) r_k} \end{aligned} \right\} \quad (8)$$

より、係数 b_k を逐次求めてゆく方法である。また、モデルの最適次数は赤池の提案した Final Prediction Error (FPE) を最小にするように決定することができる。

2) 交通状態量の予測

上述した AR モデルは、平均値ゼロの走常時系列に対する理論である。しかしながら、交通状態量は、平均値はゼロではなく、かつ非走常な時系列である。そこできず、図-1 に示すように、予えられた交通流変動の平均値 m を原変動から差し引いた変動を求め、この変動を使用するものとする。残された交通流変動の非走常性については、収計区间長として交通流変動の走常性が成り立つ範囲⁽¹⁾を採用するならば、その区间内では走常性を仮定できるので、1)で述べた走常理論が利用できることになる。

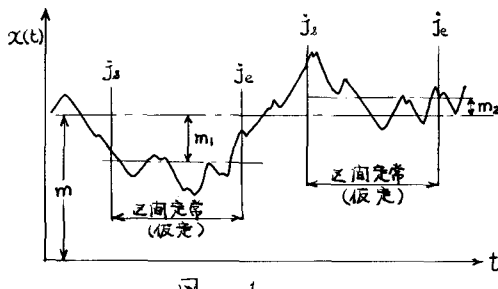


図-1

したがって、図-1 に示すように時刻 j_s から j_e までの区間の時系列（平均値 m を除去したものの）を走常時系列とみなして解析を行なう。これまでに教官されたもののうちには、過去の実測値全体を用いて予測しているものもあるが、このような場合には、予測結果に過去の累積が入り込んでくる場合がある。しかし、区間走常を仮定するならば、現時実測値から過去のデータだけから予測することができる、より予測性のある結果が期待できる。

« 1段予測 »

時刻 j_s から j_e (= 現在の時刻) 迄の観測値を用いて、式(7), (8) より予測することができる。新しい観測値が得られたならば、 j_s , j_e を 1 段だけずらし、計算を行なえば良い。なお、走常とみなせる区间長は、試行計算により決定されるが、予測結果に大きな影響を与えないまで困難とはしない。

« 多段予測 »

交通制御をオンラインで行なう場合には、1 時間先だけの予測では不十分であり、より長い何時も走常の交通状態の予測を行う必要がある。多段予測は式(2), (5) から求めることが可能であるが、ここでは 1 段予測で用いた式(7) を用いることとする。これには次に述べる方法が考えられる。

< Type 1 >

図-2 に示すように、 j_s から j_e (= 現在の時刻) 迄の測定値を用いて AR 係数 b_k を推定し、この係数を用いて順次予測値を算出する。すなはち、時刻 ($j_e + 1$) の予測値と観測値をみなして時刻 ($j_e + 2$) の予測値を算出するのである。これを繰返して行けば数時先の予測値を求めることができる。

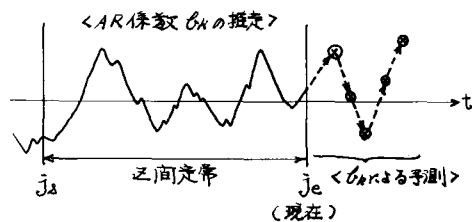


図-2

他の方法と 1)、予測された値と次の時刻の予測のための観測値とみなす点は上記の方式と同じであるが、時刻が進む毎にその都度新しく b_k を推定し、予測を進めてゆく方法を考えられる（図-3）。

< Type 2 >

Type 1 の方式によって、数時先までの予測が可能なのであるが、交通流の変動は時として大きな傾向変動が出現してくるため、予測時刻が現時より先になら 3 程予測誤差が大きくなることが考えられ

る。

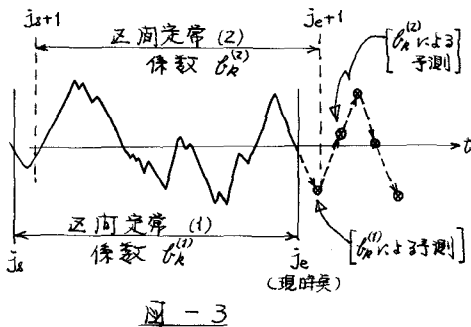


図-3

そのため、ここでは現在得られつつある観測値を用いて、図-4に示すような線形成分と除去して、予測のためのデータとする方法についても検討を加えた。

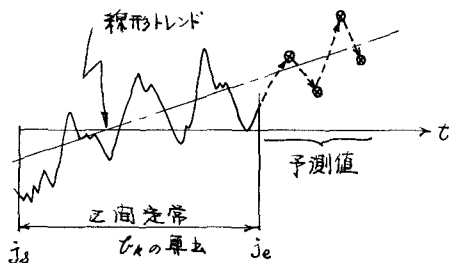


図-4 線形トレンドの除去

< Type 3 >

傾向変動（非発帰性）の影響を除去し、より精度の高い予測を行うには、過去の観測値をパターン化して統計量を用いる方法も考えられる。

以上述べた方法の他にも、多次元 AR モデルや ARIMA モデルを用いて解析する方法などが考えられるが、これらについては今後報告する予定である。

3. モデルの適用性と評価

モデルの適用性を検証するため用いたデータは、首都高速道路 1 号羽田線より車線別埋設されている車両感知器から得られた 1 分毎の交通量、平均速度および時間オキューパンシの 520 分間 (AM: 10 ~ PM: 50) である。

生データ中に含まれているランダム成分を除去するため、Window Weighting Function (Hamming) を用いて平滑化し、この平滑化された変動を原変動としている。

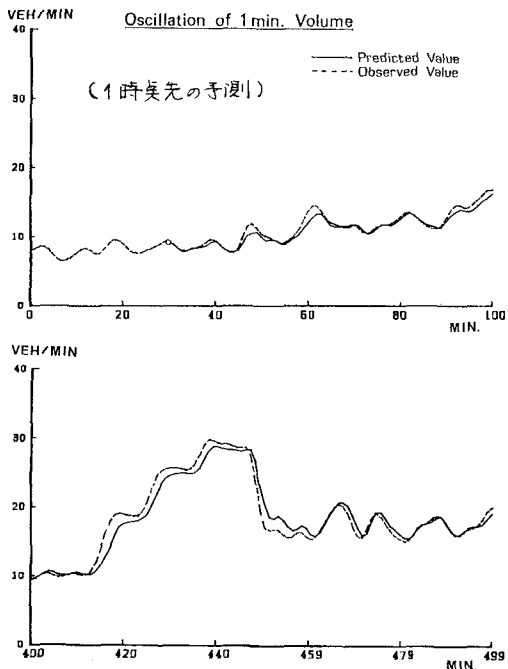


図-5 1段予測による結果

図-5 は 1 段予測方式によって算出された予測値（実際）と観測値（破線）との 1 分間交通量の変動の一部を示したものである。 常時過去の観測値を用いて 1 時間だけ先を予測していることもあり、観測値と予測値との乖離はほとんどみられない。 図-5 に示したような 1 段予測による結果は、過去においてもいくつか報告（例えば“2.”）されており、原変動への追従の良さは知られているところである。

この方式による予測時間の長さは、データ収集単位時間に依存しており、本報文のように 1 分間データを用いる場合には、1 分間先の交通状態しか予測できない。そのため、利用者の情報確認と表示されれた地図への到着時間との遅れ時間が 1 分間以上になるような道路網ごとの交通管制システムへの適用には問題がある。

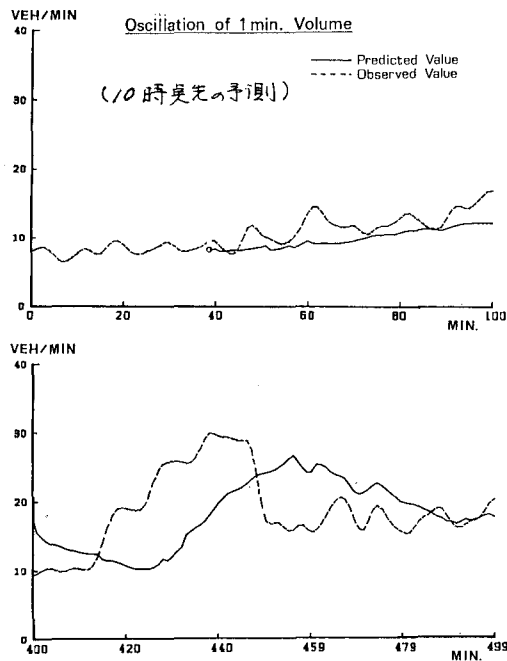


図-6 Type 1(平均値利用)の結果

図-6は、区间走行と考えられるデータ傾向を用いて平均値を求め、原変動から平均値を除去して残差変動を用いてAR係数 a_k を算出し、10時吳先以降の予測を行った結果を示したものである。この方式では予測される時よりも以前のデータの平均値の影響を強く受け、図-6でも明らかのように、傾向変動の小さな区间ではそれ程どうもみいかず、傾向変動の大きな区间では予測結果にかなり大きな時間遅れが生じている。また、平均値を用いるとから、予測結果全体の振幅が原変動にくらべやや小さくなっていることが認められる。

図-7は、原変動の有する傾向成分を予測にも考慮することに視点を置いて算出した結果を示している。前章の「Type 2」で述べた予測時吳以前の時長から現在までの観測値の傾向を回帰分析によって求め、この傾向成分と原変動との残差変動から求めたAR係数 a_k を用いて予測値を算出している。走行的な変動が見られる初期の時間区间では、図-6の結果にくらべてや改善されていえる。

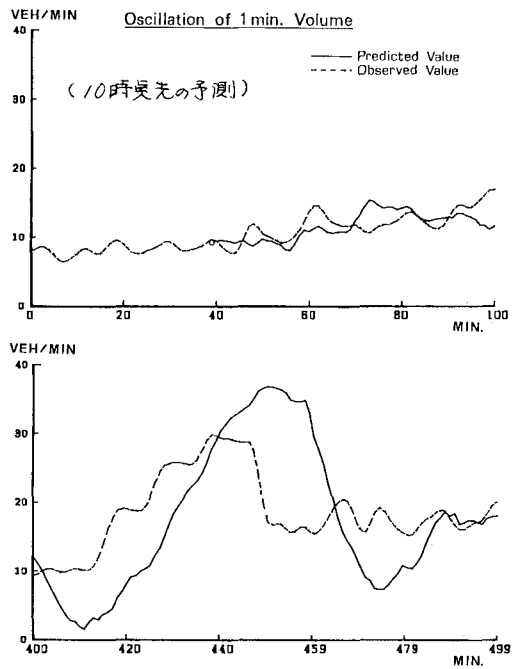


図-7 Type 2(傾向利用)の結果

しかし、大きな傾向変動の表現している区间での時間遅れは、図-6と同様、かなり大きくなるのではなく、このような区间では線形トレンドの影響を強く受けることもあり、予測された変動の振幅が、図-6とは逆に、原変動よりも大きくなる傾向が認められる。

オ2章でも述べたように、過去における同一地盤の同一時間帯での多量の観測データから作成された統計量を利用して予測すれば、上記の2つの方法による予測結果よりもより精度の高い結果が得られるであろうことは期待できる。この点を検証する意味で、1つの試行として得られた原変動に多段回の平滑化操作を施して疑似変動パターンを作成した。次いで、原変動からこの疑似変動パターンの成分を除去して得られた残差変動からAR係数 a_k を求め、1時吳毎に3時吳先の予測値を算めた。その結果を図-8に示した。ここに示した結果は、図-6および図-7にくらべ著しい改善がみられる。すなわち、走行的な変動の区間にについても、また大き

な傾向変動のみられる区间についても、原変動への追従性は良好である。これは、変動パターンと1つ用いしたもののが同日同時に車の変動であることが大きな理由の1つであることは論をすてない。でもこれが交通流変動の同一地図における変動パターンの相似性は良く知られていることであり、曜日、5/10日のどのグループが適切に示されるならば、過去に得られに同一グループの変動パターンを統計量として用いることによって、図-8で示された結果に近い良好な予測を行えることが期待できそうである。

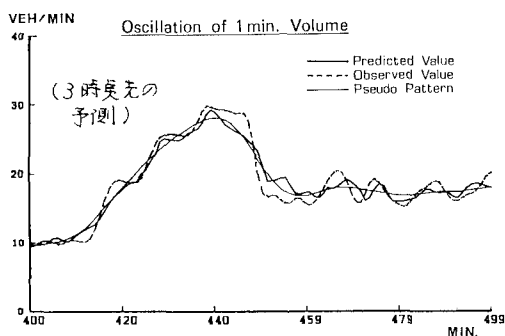


図-8 Type 3 (類似変動パターン利用) の結果

4.まとめと今後の課題

本報文で試みたいくつかの予測方法を比較すると次のようにまとめられる。

- 1段予測の結果は、原変動への追従性だけからみると、良好なものといえる。しかししながら、この方式による予測は常に1時後先だけであり、提供された情報とその表示された地図への到着時間との連れ時間を考えた場合には、实用性問題があるといえる。
- 多段予測のうち平均値を用いた方式 <Type1> と線形トレンドを考慮する方式 <Type2> とは、ともに傾向変動の顕著な区间での予測値の原変動への追従性が大きくなるといつう欠点を有している。また、予測地の変動の振幅については、平均値を用いた方式では原変動より相対的に小さくなり、線形トレンドを考慮する方式では逆に振幅

が大きくなる傾向が認められた。

- 類似変動パターンを用いた方式 <Type3> は、他の方式に見られに欠失をほぼ補完しきるものである。この方式によるならば3時後程度までの予測値は、原変動への追従性はかなり良好であるといえる。

今後の課題としては、過去の実現値から作成した変動パターンを用いて予測を試みる必要がある。さらに、1地図だけでなく、多地図の変動を同時に予測することとともに、区间交通状態の予測でも試みる必要がある。

参考文献

- 奥谷義：交通状態予測の諸手法の比較、昭和54年3月日本土木学会年譲、第4部、pp.116～117、1979
- 中辻隆也：自己回帰モデルを用いた交通制御のための交通需要予測について、昭和59回日本土木学会年譲、第4部、pp.439～440、1984
- Gazis, D.C. and Knapp, C.H. : On-Line Estimation of Traffic Density from Time-Series of Flow and Speed Data, Transp. Sci., Vol.5, No.3, pp.283～301 1971
- 例えば、交通工学研究会：新管制手段実用化のための研究、1976.3
- 例えば、高速道路調査会：広域交通情報システムの運用手法と機器構成のあり方にに関する研究、1979.3
- 片倉正彦：道路交通流に関する基礎的研究、東大修士論文、1967.2